

文章编号 10427-7104(2002)04-0424-05

* 负载型 Ni-B 非晶态合金的制备及其催化加氢活性研究

刘 波, 陈雪莹, 庄继华, 乔明华, 曹 勇, 朱源龙, 贺鹤勇, 范康年

(复旦大学 化学系, 分子催化和创新材料实验室, 上海 200433)

摘要:通过化学还原沉积法将超细 Ni-B 非晶态合金负载于介孔分子筛(MCM-41,HMS)上,以丙烯腈加氢生成丙腈为目标反应,考察了上述催化剂的催化活性和热稳定性,并与 Ni-B/SiO₂ 和非负载型 Ni-B 非晶态合金做了比较。研究发现,上述 4 种催化剂的催化活性依次为: Ni-B/MCM-41 > Ni-B/HMS > Ni-B/SiO₂ > Ni-B。结合比表面积测试(BET),电感耦合等离子光谱(ICP),X 射线衍射(XRD),差示扫描量热法(DSC),选区电子衍射(SAED)以及氢吸附等表征手段,发现高比表面和具有规整结构是 Ni-B/MCM-41 具有较高活性的原因。

关键词:HMS; MCM-41; 超细 Ni-B 非晶态合金; 催化加氢

中图分类号: O 642.12

文献标识码: A

1992, 美国 Mobil 公司合成出具有规整孔道结构的 MS41 系列介孔分子筛^[1,2]。从此以后,有关介孔分子筛的研究引起了人们的高度重视。介孔分子筛具有高比表面积($>800 \text{ m}^2 \cdot \text{g}^{-1}$),均匀的介孔孔道(2~10 nm),并且孔径具有可调性,预示其可以作为一种优良的催化剂载体。

由化学还原方法制得的 Ni-B 非晶态合金由于其无定型非晶结构导致表面原子配位高度不饱和,使其在催化加氢过程中具有优于骨架镍的催化活性和选择性^[3,4]。但是由于其粒径较小、表面能较高,颗粒之间容易发生团聚;另外,非晶态合金催化剂处于亚稳态,在较高温度以及反应过程中会发生晶化,从而使其催化活性有所下降,因此限制了它在工业中的应用。将非晶态 Ni-B 合金负载化不仅可以提高催化剂的热稳定性,同时还有利于活性位的分散,增加其活性比表面积,从而提高催化活性,是一种很有前途的非晶态合金实用化方法^[5~7]。SiO₂、Al₂O₃、活性炭等作为 Ni-B 非晶态合金的载体的研究已有较多报道,但以介孔分子筛作为载体还不多见^[8]。这是因为全硅介孔分子筛在碱性溶液中不稳定,介孔结构易于坍塌,而在制备 Ni-B 催化剂时所用的还原剂 KBH₄ 水溶液具有较强的碱性。本文则改用化学还原沉积法将超细 Ni-B 合金沉积于介孔分子筛(MCM-14,HMS)上,既避免了介孔分子筛的破坏,又有效地提高了活性位的分散和单位活性位的催化活性(TOF)。

1 实验

1.1 催化剂的制备

文中所使用试剂均为分析纯。普通二氧化硅购自青岛海洋化工厂,MCM-41 的制备方法参见文献[9],HMS 的制备方法参见文献[10]。

分别将 0.5 g 载体悬浮于 20 mL NiCl₂ 溶液($0.42 \text{ mol} \cdot \text{L}^{-1}$)中,在冰水浴中边搅拌边滴加 KBH₄ 溶液($2 \text{ mol} \cdot \text{L}^{-1}$,内含 NaOH($0.1 \text{ mol} \cdot \text{L}^{-1}$)),溶液的 pH 值由 pH 计监测。当溶液 pH 值从 4 突跃至 7 时,停止滴加 KBH₄ 溶液。此时将所得黑色固体用蒸馏水洗涤 6 次,然后用无水乙醇洗涤 3 次以除去残余的水

* 收稿日期: 2001-12-31

基金项目: 973 国家重点基础研究发展规划资助项目(G2000048009); 国家自然科学基金资助项目(20073008)

作者简介: 刘 波(1977—), 男, 硕士研究生, 通讯联系人范康年教授、博士生导师。

保存并备用。

1.2 催化剂的表征

采用 Jarrell-Ash Atom Scan 2000 型电感耦合等离子光谱(ICP)分析催化剂的组成 , 催化剂总比表面积和孔径分布在 Micromeritics TriStar 3000 型物理吸附仪上测量得到 ;XRD 测试在 BRUKER AXS D8 Advance 型 X- 射线衍射仪上进行 , 样品的非晶结构由选区电子衍射(SAED)方法鉴定 , 在 JEOL 2011 型透射电镜(TEM)上测得 ; 采用 SETARAM DSC 141 仪器分析样品的热稳定性 , 高纯氮为载气 , 升温速率为 $10 \text{ K} \cdot \text{min}^{-1}$ 。

1.3 催化活性测试

催化剂活性测试选用丙烯腈加氢生成丙腈为目标反应 , 加氢反应在 200 mL 高压釜中进行 . 往高压釜中依次加入 25 mL 无水乙醇 , 5 mL 丙烯腈 , 0.5 g 催化剂 , 然后将反应釜密封 . 通氢气 4 次以置换除去釜中的空气 , 最后通氢气至反应釜压力为 1.0 MPa , 水浴加热 , 反应液温度为 50 °C , 搅拌速度为 1 000 r/min. 开启搅拌器 , 加氢反应开始 , 催化剂的活性可以通过观察反应过程中压力随时间的变化而确定 , 并通过理想气体状态方程转化为吸氢量的变化 , 反应产物由气相色谱仪测定 , 采用面积归一化方法进行定量 .

2 结果与讨论

2.1 非晶态合金的结构分析

图 1 为 2 种介孔分子筛载体负载 Ni-B 非晶态合金前后的 XRD 谱图 . 从图中可以看到 HMS 和 MCM-41 的图谱上都有 1 个很强的(100)主衍射峰 , 说明了 2 种载体的孔道都具有中孔的性质 . 而 MCM-41 的图谱上除了 1 个很强的(100)主衍射峰外 , 在 $3^{\circ} \sim 8^{\circ}$ 范围内的 3 个小峰清晰可辨 , 说明载体的有序度较高 .

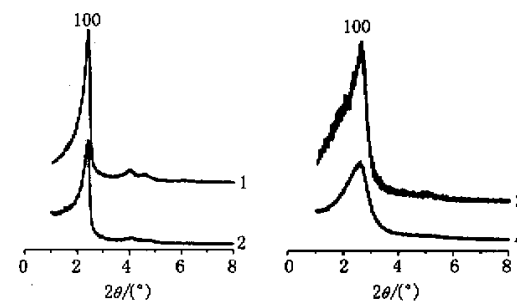


图 1 介孔分子筛(载体)负载 Ni-B 合金前后的 XRD 谱图

Fig. 1 XRD patterns of the mesoporous molecular

sieves before and after loading of Ni-B alloy

1. MCM-41 ; 2. Ni-B/MCM-41 ; 3. HMS ; 4. Ni-B/HMS

表 1 不同样品的部分表征结果

Tab. 1 Some characterizations of different samples

| 样品 | 组分分子式 | $\omega(\text{Ni})\%$ | $S_{\text{BET}}/(\text{m}^2 \cdot \text{g}^{-1})$ | $V_{\text{pore}}/(\text{cm}^3 \cdot \text{g}^{-1})$ |
|----------------------|-----------------------------------|-----------------------|---|---|
| Ni-B | $\text{Ni}_{77.8}\text{B}_{22.2}$ | — | 34.6 | 0.102 |
| MCM-41 | — | — | 826.4 | 0.869 |
| Ni-B/MCM-41 | $\text{Ni}_{77.7}\text{B}_{22.3}$ | 21.82 | 588.2 | 0.695 |
| HMS | — | — | 933.4 | 0.773 |
| Ni-B/HMS | $\text{Ni}_{78.1}\text{B}_{21.9}$ | 20.68 | 630.6 | 0.588 |
| SiO_2 | — | — | 404.7 | 1.011 |
| Ni-B/ SiO_2 | $\text{Ni}_{78.4}\text{B}_{21.6}$ | 21.30 | 251.1 | 0.683 |

表 1 列出了各样品的组成、比表面以及孔容。由表 1 可以看出 , 介孔分子筛具有比普通二氧化硅更大的比表面 , 但孔容不及普通二氧化硅 . 每个催化剂的 Ni-B 合金组成接近 , 说明制备过程中生成 Ni-B 的反应机理是一致的 . 所有载体负载了 Ni-B 非晶态合金后 , 孔容和比表面都有所下降 , 这可能是由于非晶态合金堵塞了部分孔道而致 . 介孔分子筛负载 Ni-B 合金前后的孔径分布见图 2. 具体见第 426 页 .

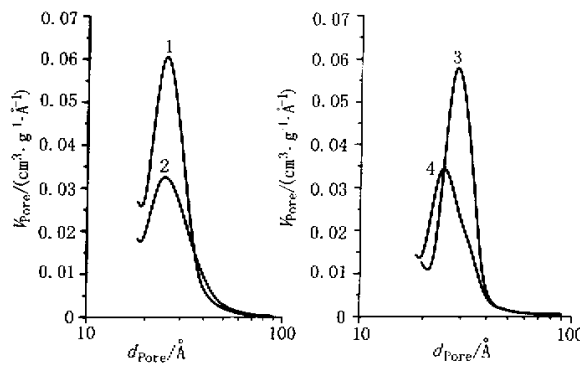


图 2 介孔分子筛负载 Ni-B 合金前后的孔径分布图

Fig. 2 Pore size distribution of the mesoporous molecular sieves before and after loading of Ni-B alloy

1. MCM-41 ; 2. Ni-B/MCM-41 ; 3. HMS ; 4. Ni-B/HMS

120 ℃ 烘干后得到前驱体,然后在冰水浴中往干燥的前驱体上滴加 KBH_4 溶液进行还原,该方法在此不再适用。这是因为 KBH_4 在水溶液中会发生水解,产生较强的碱性;同时,在配制 KBH_4 溶液时,为了防止 KBH_4 的水解还在溶液中加入了一定量的 NaOH ,所以这些都使 KBH_4 溶液具有较强的碱性。因此采用这种方法制备催化剂时,介孔分子筛始终处于碱性环境中,很难防止载体的介孔结构被破坏^[8]。我们采用化学还原沉积法将 Ni-B 非晶态合金负载于载体上很好地解决了这一问题,这是因为用 KBH_4 还原 NiCl_2 的过程中,溶液的 pH 值虽然先上升到 7.77,但很快降到 4 左右,并长时间维持在这一水平,直至 NiCl_2 完全反应。此后,继续滴加 KBH_4 溶液,pH 值才会很快上升至碱性(图 3)。如果将 KBH_4 的使用量控制在合适的范围内,则可使介孔分子筛始终处于一酸性体系中,从而避免了分子筛介孔结构的破坏。

每个催化剂都在透射电镜(TEM)上进行了选区电子衍射(SAED)测试,文中只给出了非负载 Ni-B 催化剂的结果(图 4),Ni-B/MCM-41、Ni-B/HMS 以及 Ni-B/ SiO_2 样品的衍射图与此类似,文中不再重复给出。从图中可见,所有样品的衍射图中呈现出一连续的衍射圆环,表明所有样品都具有非晶态结构。这一结果也被各样品的 XRD 结果得到了证实,从 XRD 图中发现,所有催化剂在 $2\theta = 45^\circ$ 左右的地方都有一包峰,这也是所有非晶态合金所共有的特性。

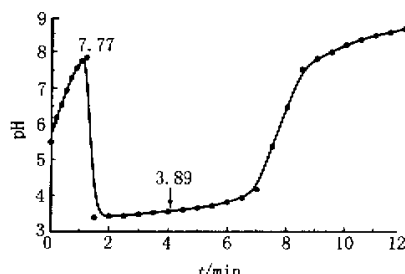


图 3 催化剂制备过程中溶液 pH 值随反应进程的变化

Fig. 3 Typical evolution of pH in the preparation of Ni-B catalysts

从图 2 中可以发现,MCM-41 和 HMS 负载了 Ni-B 非晶态合金后,孔容都明显下降,而且最可几孔径也变小,这些结果表明 Ni-B 合金已经部分进入孔道,但所有催化剂仍保持了载体本身具有的介孔结构,关于这点也为图 1 所示的 XRD 结果进一步证实,载体在负载了合金后虽然衍射峰强度有所减弱,但介孔分子筛的特征衍射峰仍然存在。不难看出,载体 MCM-41 的最可几孔径下降较 HMS 明显,这是由于 MCM-41 具有比 HMS 规整的结构,Ni-B 合金进入载体介孔内部要容易,因此,孔径下降也比较明显。值得说明的是,全硅介孔分子筛 MCM-41 和 HMS 在碱性溶液中都不稳定,它们的介孔结构容易被破坏。按照常规方法制备负载型 Ni-B 非晶态合金:

首先采用浸渍法将 NiCl_2 事先负载在载体上,

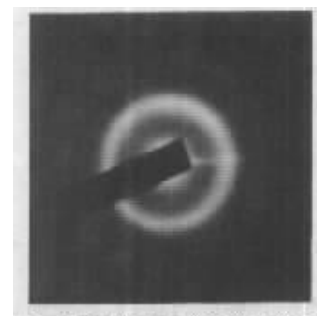


图 4 非负载 Ni-B 合金的 SAED 图

Fig. 4 SAED graph of ultrafine Ni-B amorphous alloy

非晶态合金由于处于热力学亚稳态,它的性质并不稳定,这也是限制 Ni-B 非晶态合金应用的最大问题。各催化剂的热稳定性可以采用 DSC 来表征。图 5 给出了 Ni-B 合金负载在介孔分子筛上的 DSC 结果。

与非负载Ni-B合金相比可以发现,当Ni-B合金负载在介孔分子筛上后,第1个晶化峰从427 K移到了490 K左右,比负载在普通SiO₂上的450 K要高。说明将Ni-B合金负载在介孔分子筛上有利于非晶态合金的稳定性的提高。

2.2 催化性能的研究

在催化剂作用下,丙烯腈在高压釜中可能会发生下列加氢反应:CH₂=CH—CN+H₂→CH₃—CH₂—CN;CH₃—CH₂—CN+H₂→CH₃—CH₂—CH₂—NH₂。产物经气相色谱分析发现仅有丙腈,选择性为100%。

在50℃,1.0 MPa H₂,丙烯腈5 mL,无水乙醇25 mL的条件下,将4种非晶态合金催化剂引入到丙烯腈催化加氢反应中,它们的加氢活性列于表2。从表中可以发现,当非晶态Ni-B负载在载体上,催化剂的活性比表面明显增加,尤以负载在中孔分子筛HMS上为佳,其活性比表面增加了1倍左右。比较各个载体原有的比表面后发现,载体的比表面越大,制得催化剂的活性比表面也越大,其活性位分散得越好。另外,非晶态Ni-B合金负载化后,催化剂的加氢反应速度也明显增加,这与活性的分散状况是一致的。令人感兴趣的是,Ni-B非晶态合金负载在普通SiO₂上,TOF值只有略微增加,而当它负载在中孔分子筛上后,TOF值增加明显,尤以MCM-41上为甚,TOF值增加了约3倍,在HMS上也增加了1倍多。导致加氢活性的差异可能和活性组分与载体间的相互作用有关,进一步的工作正在进行之中。

表2 非晶态合金催化剂催化丙烯腈加氢的活性测试结果

Tab. 2 The catalytic activity in the hydrogenation of acrylonitrile

| 催化剂 | $N_{Ni}/(10^{19} \cdot g_{Ni}^{-1})$ | $v_{Ni}/(mol \cdot min^{-1} \cdot g_{Ni}^{-1})$ | TOF/s ⁻¹ |
|-----------------------|--------------------------------------|---|---------------------|
| Ni-B/HMS | 4.86 | 0.012 4 | 2.56 |
| Ni-B/MCM-14 | 4.29 | 0.016 4 | 3.84 |
| Ni-B/SiO ₂ | 3.60 | 0.004 13 | 1.15 |
| 超细Ni-B | 2.30 | 0.002 45 | 1.07 |

注:N_{Ni}为单位质量镍上的活性镍原子数;v_{Ni}为单位质量镍上的反应速度,TOF为单位活性位的催化活性。

参考文献:

- [1] Kresge C T, Leonowicz M E, Roth W J, et al. Ordered mesoporous molecular-sieves synthesized by a liquid-crystal template mechanism[J]. *Nature*, 1992, **359**(6397):710-712.
- [2] Beck J S, Vartuli J C, Roth W J, et al. A new family of mesoporous molecular-sieves prepared with liquid-crystal templates[J]. *J Am Chem Soc*, 1992, **114**(27):10834-10843.
- [3] Satohiro Y, Hiromi Y, Takuzo F, et al. Catalysis by amorphous metal alloys. Part 1. hydrogenation of olefins over amorphous Ni-P and Ni-B alloy[J]. *J Chem Soc Faraday Trans I*, 1984, **80**(6):1435-1446.
- [4] Chen Y Z, Wu K J. Hydrogenation activity and selectivity of cobalt borides[J]. *Appl Catal*, 1991, **78**:185-197.
- [5] Deng J F, Li H X, Wang W J. Progress in design of new amorphous alloy catalysts[J]. *Catal Today*, 1999, **51**(1):113-125.
- [6] Deng J F. Supported metal-metalloid amorphous alloy as hydrogenation catalysts[J]. *Curr Top Catal.*, 1999, **2**:1-6.
- [7] Deng J F, Zhang X P, Min E Z. Amorphous nickel-phosphorus alloy deposited on a support and its hydrogenation activity[J]. *Appl Catal*, 1988, **37**:339-343.

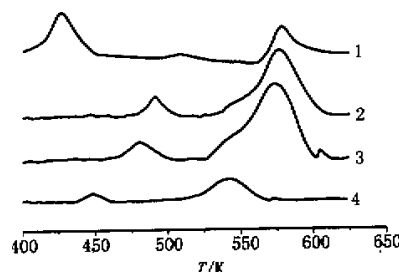


图5 非晶态Ni-B合金催化剂的DSC图

Fig. 5 DSC spectrum of amorphous Ni-B alloy
1. Ni-B; 2. Ni-B/HMS;
3. Ni-B/MCM-41; 4. Ni-B/SiO₂

- [8] Wong S T , Lee J F , Chen J M . Preparation and characterization of MCM-41 and silica supported nickel boride catalysts [J]. *J Mol Catal A : Chem* 2001 , **165** (1-2) :159-167.
- [9] Michael G , Klaus K U , Akihiki M , et al . Novel pathways for the preparation of mesoporous MCM-41 materials : Control of porosity and morphology [J]. *Microporous Macroporous Mater* ,1999 , **27** 207-216.
- [10] Taney P T , Pinnavaia T J . A neutral templating route to mesoporous molecular-sieves [J]. *Science* ,1995 , **267** (5199) 865-867.

Preparation of Supported Amorphous Ni-B Alloys and Their Catalytic Activity in Acrylonitrile Hydrogenation

LIU Bo , CHEN Xue-ying , ZHUANG Ji-hua , QIAO Ming-hua , CAO Yong ,
ZHU Yuan-long , HE He-yong , FAN Kang-nian

(Molecular Catalysis & Innovative Material Laboratory , Department of Chemistry ,
Fudan University , Shanghai 200433 , China)

Abstract : The ultrafine Ni-B amorphous alloys supported on mesoporous molecular sieves (MCM-41 ,HMS) were prepared by chemical reduction and deposition (CRD) method. Taking the hydrogenation of acrylonitrile as the target reaction , the catalytic activity and thermo-stability of these catalysts have been examined and the results have been compared with that of Ni-B/SiO₂ and ultrafine amorphous Ni-B alloy. Experimental results show that the activity order of these catalysts are Ni-B/MCM-41>Ni-B/HMS>Ni-B/SiO₂>Ni-B. Being characterized by BET , ICP ,XRD ,DSC , SAED and hydrogen adsorption method it is found that the high activity of Ni-B/MCM-41 catalysts could be attributed to the high surface area and the ordering mesoporous structure of MCM-41.

Keywords : HMS ; MCM-41 ; Ni-B amorphous alloy ; hydrogenation

~~~~~  
( 上接第 423 页 )

## The Young's Interfere Effect of Molecular Wave on Excited State of HCl

BAO Han<sup>1,2</sup> , SHAO Fang-wei<sup>1,2</sup> , LU Jing<sup>1,2</sup> , FAN Kang-nian<sup>1,2</sup>

( 1. Molecular Catalysis and Innovative Material Lab , Department of Chemistry , Fudan University ,  
Shanghai 200433 , China 2. The Fudan Theoretical Chemical Physics Center , Shanghai 200433 , China )

**Abstract :** The coherent control theory was developed and applied to the photodissociation of HCl<sup>+</sup> . The propagation of the wavepacket on the excited state of HCl<sup>+</sup> and the product yield of HCl<sup>+</sup> dissociation oscillated with the phase difference between two input pulses were calculated. The results agree well with the experiments.

**Keywords :** HCl<sup>+</sup> ; photodissociation ; coherent control

# 负载型Ni-B非晶态合金的制备及其催化加氢活性研究

作者: 刘波, 陈雪莹, 庄继华, 乔明华, 曹勇, 朱源龙, 贺鹤勇, 范康年  
 作者单位: 复旦大学化学系, 分子催化和创新材料实验室, 上海, 200433  
 刊名: 复旦学报(自然科学版) [ISTIC PKU]  
 英文刊名: JOURNAL OF FUDAN UNIVERSITY (NATURAL SCIENCE)  
 年, 卷(期): 2002, 41(4)  
 被引用次数: 21次

## 参考文献(10条)

1. Kresge C T; Leonowicz M E; Roth W J Ordered mesoporous molecular-sieves synthesized by a liquid-crystal template mechanism 1992(6397)
2. Beck J S; Vartuli J C; Roth W J A new family of mesoporous molecular-sieves prepared with liquid-crystal templates 1992(114)
3. Satohiro Y; Hiromi Y; Takuzo F Catalysis by amorphous metal alloys. Part 1. hydrogenation of olefins over amorphous Ni-P and Ni-B alloy 1984(06)
4. Chen Y Z; Wu K J Hydrogenation activity and selectivity of cobalt borides 1991
5. Deng J F; Li H X; Wang W J Progress in design of new amorphous alloy catalysts 1999(01)
6. Deng J F Supported metal-metalloid amorphous alloy as hydrogenation catalysts 1999
7. Deng J F; Zhang X P; Min E Z Amorphous nickel-phosphorus alloy deposited on a support and its hydrogenation activity 1988
8. Wong S T; Lee J F; CHEN J M Preparation and characterization of MCM-41 and silica supported nickel boride catalysts 2001
9. Michael G; Klaus K U; Akihiki M Novel pathways for the preparation of mesoporous MCM-41 materials: Control of porosity and morphology 1999
10. Taney P T; Pinnavaia T J A neutral templating route to mesoporous molecular-sieves 1995(5199)

## 本文读者也读过(10条)

1. 崔觉剑. 赵建明. 邵洪根. Cui Juejian. Zhao Jianming. Shao Honggen 液相催化加氢中催化剂的分离方法[期刊论文]-化工生产与技术2008, 15(5)
2. 张静. 吴跃东. 李和兴. 超声波制备Ni-B非晶态合金催化剂应用于乙腈加氢制备乙胺[会议论文]-2004
3. 蔡亮. 程原. Cai Liang. Cheng Yuan 催化加氢制备对羟基苯甲脒[期刊论文]-化工中间体2008, 4(12)
4. 黄海燕. 俞英. 胡志松. Huang Haiyan. Yu Ying. Hu Zhisong 苯电催化加氢SPE电极的制备研究[期刊论文]-太阳能学报2006, 27(3)
5. 许兴友. 李道年. 高健. 许同桃. 张卫仪. 张畅. 张加志 N, N, N', N'-四(3-氨基丙基)乙二胺合成和表征[期刊论文]-化工矿物与加工2005, 34(9)
6. 盛春. 王明辉. 高建文. 庄莉. 徐叶平. 李和兴. SHENG Chun. WANG Ming-hui. GAO Jian-wen. ZHUANG Li. XU Ye-ping. LI He-xing 负载型Co-B/SiO<sub>2</sub>非晶态合金用于乙腈加氢的研究[期刊论文]-上海师范大学学报(自然科学版) 2000, 29(3)
7. 刘够生. 宋兴福. 汪瑾. 于建国. Liu Gou-Sheng. Song Xing-Fu. WANG Jing. YU Jian-guo 水分子在MoO<sub>3</sub>原子簇模型表面吸附的密度泛函研究[期刊论文]-分子催化2005, 19(2)
8. 黄森科. 刘炳泗. 曹勇. 邓景发. Ni系非晶态合金膜的晶化过程与吸氢性能(I)--Ni系非晶态合金膜的DSC、XRD、EXAFS和TPD表征[期刊论文]-石油化工高等学校学报2003, 16(3)
9. 江雨生. 张晓昕. 孟祥堃. 宗保宁. JIANG Yu-sheng. ZHANG Xiao-xin. MENG Xiang-kun. ZONG Bao-ning 噻吩在镍

基非晶态合金上的吸附和脱附[期刊论文]-石油学报(石油加工) 2006, 22(3)

10. 杨海贤. 贾立山. 方维平. 李清彪. Yang Haixian. Jia Lishan. Fang Weiping. Li Qingpiao 制备方法对Cu-Mn-Si/HZSM-5催化加氢性能的影响[期刊论文]-化工时刊2008, 22(5)

### 引证文献(21条)

1. 曹新华, 郑思宁, 潘丽娟, 郑瑛 MCM-41负载Ni-Fe-B非晶态合金催化剂的合成[期刊论文]-石油化工 2004(z1)
2. 宋丹, 姜炜, 周际东, 程志鹏, 李凤生 交联PS微球负载纳米Ni颗粒的制备及表征[期刊论文]-功能材料 2008(02)
3. 王锋, 熊文高, 钟立平 负载型非晶态合金催化剂研究现状[期刊论文]-广东化工 2007(06)
4. 曹新华, 詹瑛瑛, 郑瑛 Ni-Fe-B/MCM-41非晶态合金的合成与表征[期刊论文]-合成化学 2005(04)
5. 徐长青, 朱大建, 李光兴 Ni-B非晶态催化材料研究进展[期刊论文]-功能材料 2004(z1)
6. 韩焕波 M-TiO<sub>2</sub>/堇青石催化剂催化KBH<sub>4</sub>水解析氢性能研究[学位论文]硕士 2007
7. 郭一斐 2, 5-二甲基哌嗪合成工艺的研究[学位论文]硕士 2008
8. 张鹏 四元非晶态催化剂催化芳香腈加氢的研究[学位论文]硕士 2008
9. 谭亚南 乙苯加氢镍基催化剂及新型反应器模型的研究[学位论文]博士 2008
10. 李玉华 负载型非晶态合金催化剂的研究[学位论文]硕士 2006
11. 华丽 大孔径CNTs功能化处理及NiB/CNTs合金催化性能研究[学位论文]硕士 2006
12. 林徐明 Co-P合金催化剂的制备及其催化分解PH<sub>3</sub>的研究[学位论文]硕士 2007
13. 龚磊 非晶态合金催化剂用于油脂加氢反应的研究[学位论文]硕士 2007
14. 黄月英 负载型钌硼非晶态合金常压下催化加氢性能的研究[学位论文]硕士 2007
15. 吴秋洁 Ni-B非晶态合金催化加氢制备氯代苯胺的研究[学位论文]硕士 2006
16. 许胜先 负载型非晶态钌硼合金的催化性能研究[学位论文]博士 2005
17. 张艳华 改性MCM-48分子筛的合成和催化性能研究及Y/MCM-48复合分子筛的合成[学位论文]硕士 2005
18. 郑一雄 镍基非晶态合金纳米颗粒材料的制备、结构与电催化性能研究[学位论文]博士 2007
19. 孙昱 氯代硝基苯选择性加氢制备氯代苯胺的研究[学位论文]博士 2007
20. 宋丹 微纳米核壳及中空结构粒子的制备与性能研究[学位论文]博士 2009
21. 谭亚南 乙苯加氢镍基催化剂及新型反应器模型的研究[学位论文]博士 2008

引用本文格式: 刘波. 陈雪莹. 庄继华. 乔明华. 曹勇. 朱源龙. 贺鹤勇. 范康年 负载型Ni-B非晶态合金的制备及其催化加氢活性研究[期刊论文]-复旦学报(自然科学版) 2002(4)